

Präzisionsmessung der Polarisation bei HERA II – oder: Der Weg zu $\delta P/P \leq 1\%$

DPG Frühjahrstagung, 10.03.2003



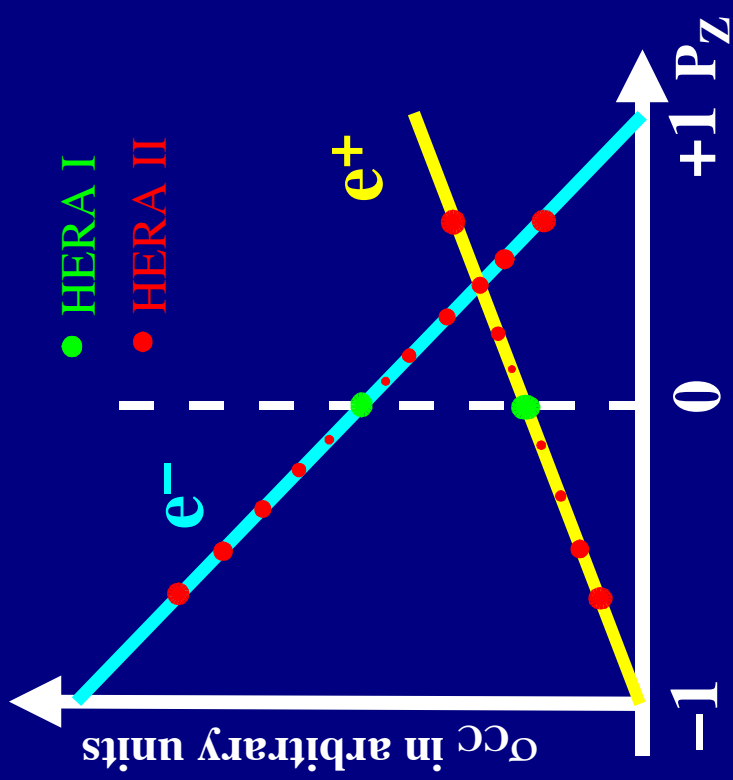
Jenny Böhme

- Einführung
- Das Transversale Polarimeter
 - Aufbau & Messprinzip
 - Die HERA-II-Analyse
 - Erste Polarisationsdaten vom Oktober 2002
 - MC-Studien
- Zusammenfassung und Ausblick

Warum eine Präzisionsmessung? (I)

Charged-current-Wirkungsquerschnitt
hängt linear von Polarisierung ab:

- Elektronen: $\sigma_{CC}(P) = (1-P) \sigma_{CC}(0)$
 - Positronen: $\sigma_{CC}(P) = (1+P) \sigma_{CC}(0)$
- => Kenntnis der Polarisierung genauso
wichtig wie die der Luminosität!
Um...

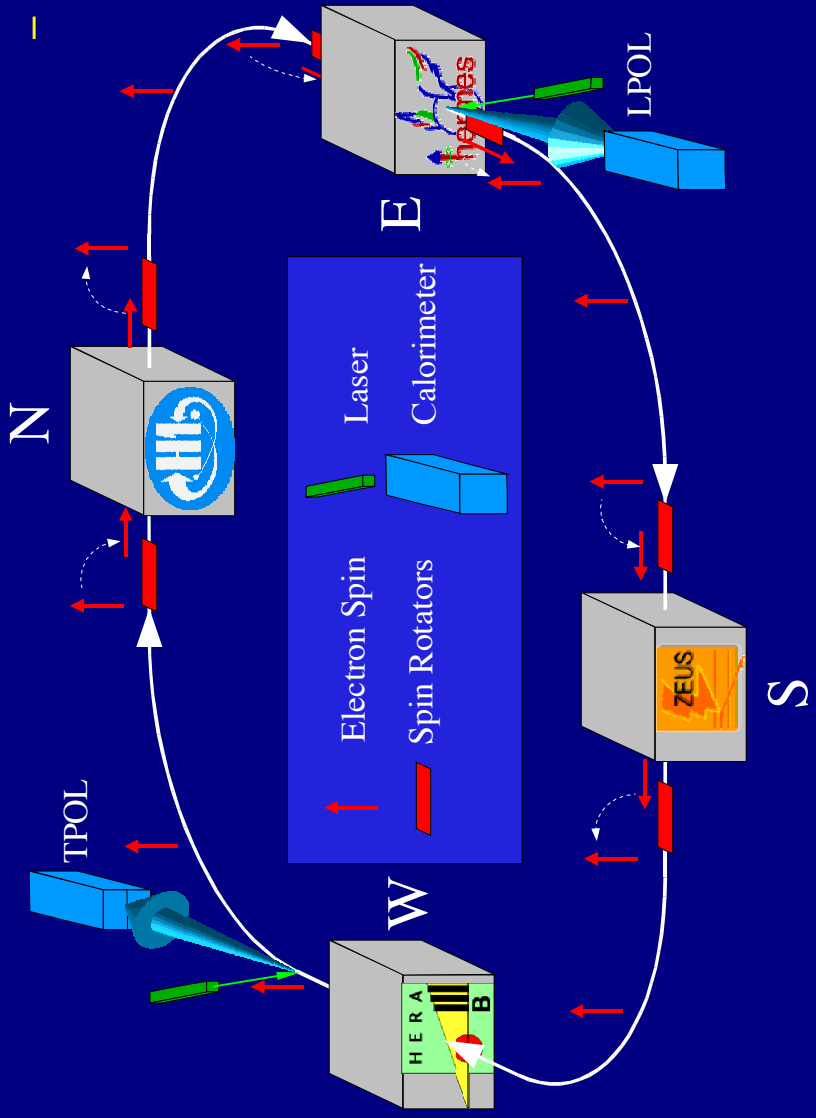


- den Wirkungsquerschnitt zu messen,
 - zu $P = \pm 1$ zu extrapoliieren
 - und nach rechtshändigen W-Bosonen zu suchen
- ... brauchen wir $\delta P/P < 1\%$,
sonst ist Polarisierung der dominante
systematische Fehler bei hohem Q^2 !

HERA und ihre Polarimeter

- $E_p = 920 \text{ GeV}$
- $E_e = 27.5 \text{ GeV}$

- HERA II: zusätzliche Spinrotatoren bei H1 u. ZEUS
 - TPOL: fast komplett neu
 - LPOL: fast unverändert upgrade im nächsten shutdown



Messprinzip: Compton-Streuung

- Kinematik durch 2 Variablen beschrieben:

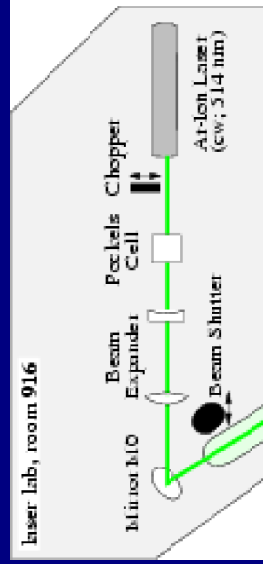


$$\frac{d^2\sigma}{dE \, d\phi} = \Sigma_0(E) + S_1 \Sigma_1(E) \cos 2\phi + S_3 (P_Y \Sigma_{2Y}(E) \sin \phi + P_Z \Sigma_{2Z}(E))$$

- LPOL: brauche nur Energiespektrum zu messen
- TPOL: brauche Energie- und Ortsmessung, also vollen zweifach-differentiellen Wirkungsquerschnitt

WICHTIG: benutze Asymmetrie zwischen $S_3 = +1$ und $S_3 = -1$

TPOL: Aufbau (I)



Laser:

continuous wave, $E_\lambda = 2.4 \text{ V}$, $\lambda = 514 \text{ nm}$

Kreuzungswinkel: 3.1 mrad

Kalorimeter:

Wolfram-Szintillator-Sampling-K.

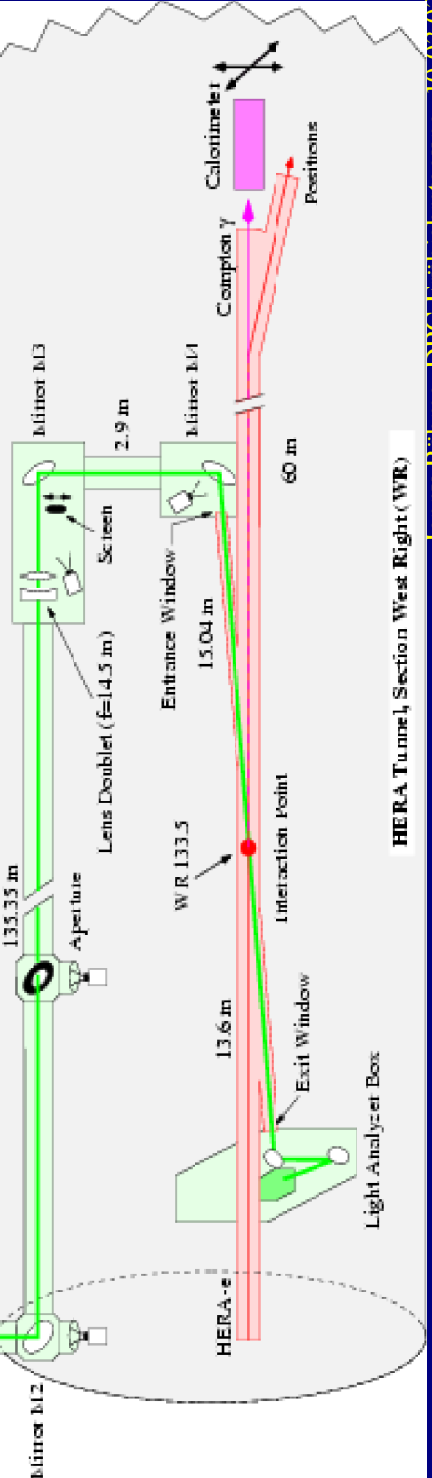
einfach segmentiert (oben/unten)

vier Kanäle über Wellenlängenschieber

und Photomultiplier ausgelesen:

oben, unten, links, rechts

Heribert Meynerts, Sept. 9, 1996
(myne@desy.de)



TPOL: Aufbau (II)

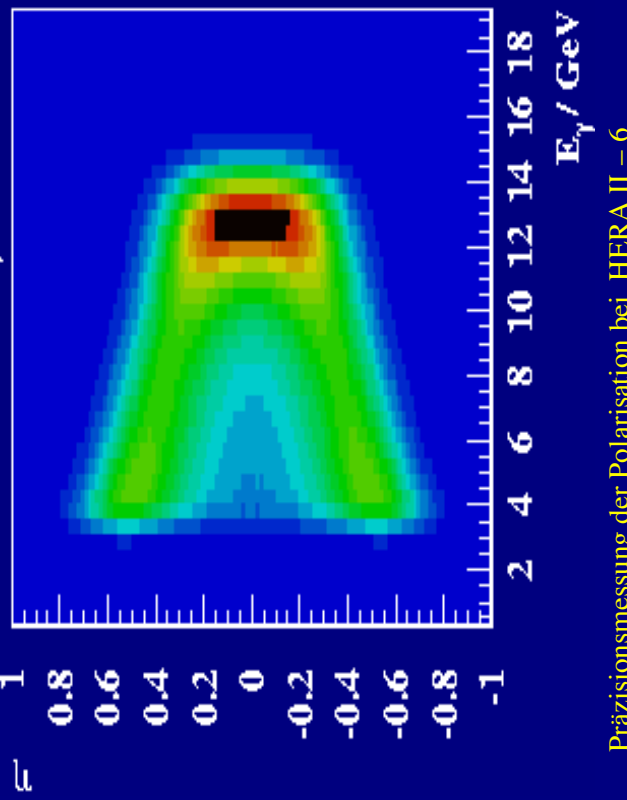
- Messgrößen:

$$E_\gamma = E_{\text{up}} + E_{\text{down}}$$

$$\eta = (E_{\text{up}} - E_{\text{down}}) / (E_{\text{up}} + E_{\text{down}}),$$

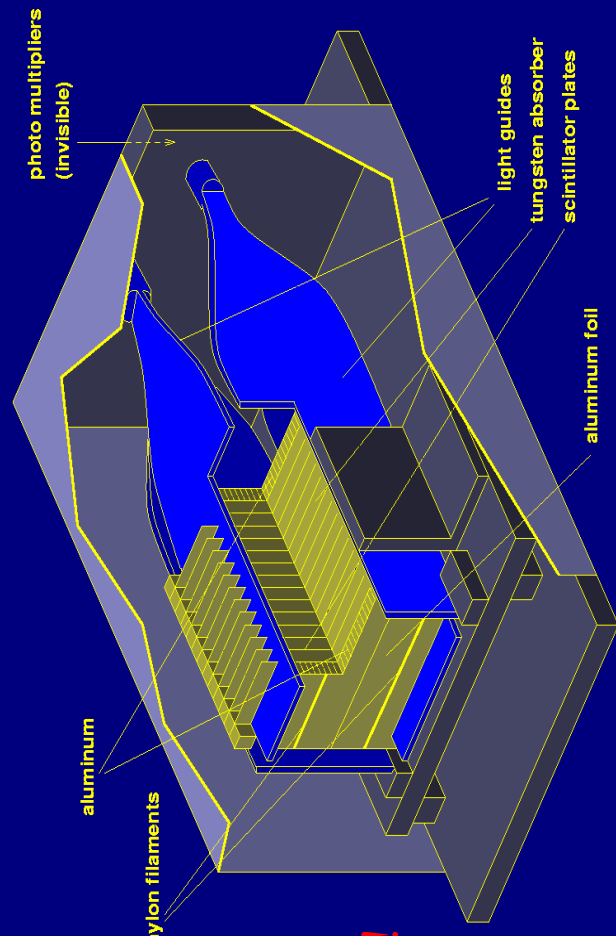
$$\gamma = \gamma(\eta) \leftarrow \text{Hauptunsicherheit!}$$

$$d^2\sigma/dE_\gamma d\eta$$



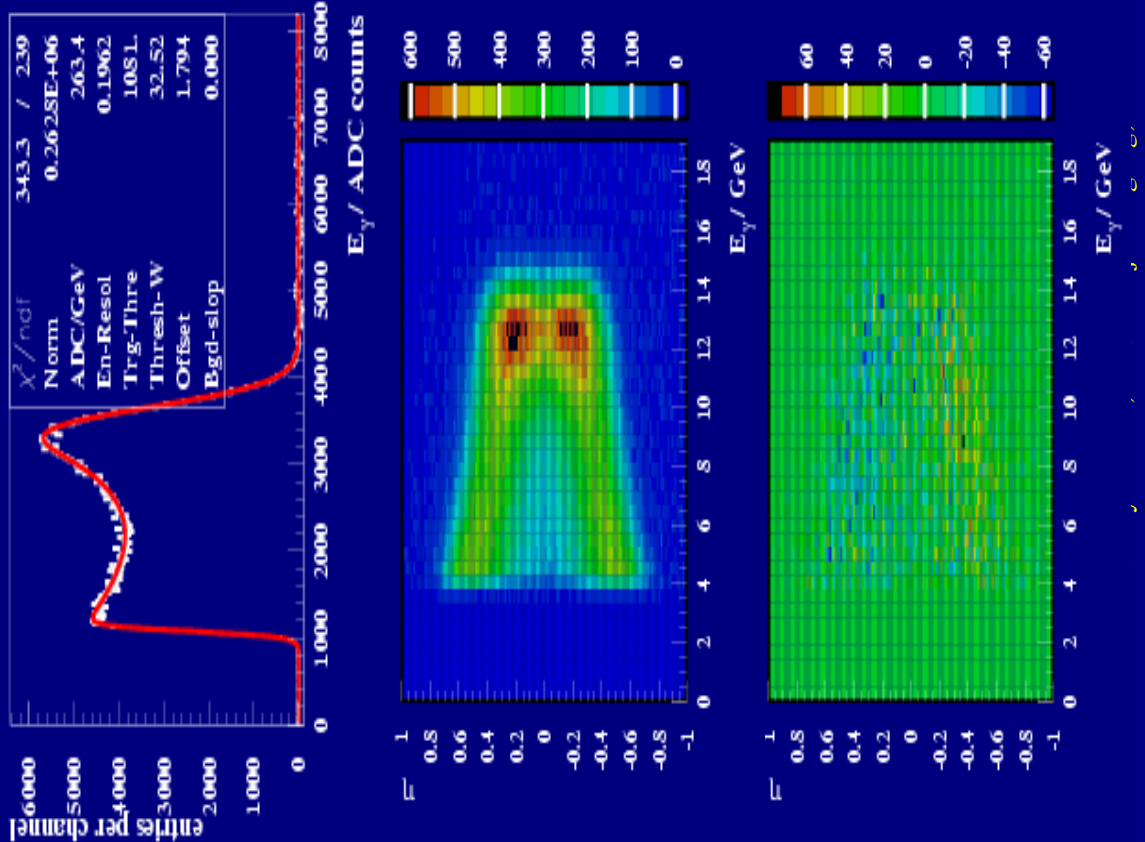
- γ - γ -Transformation:

- hängt empfindlich ab von der transversalen Schauerentwicklung im Kalorimeter
- bisher:
nur aus Testbeam-Messungen...

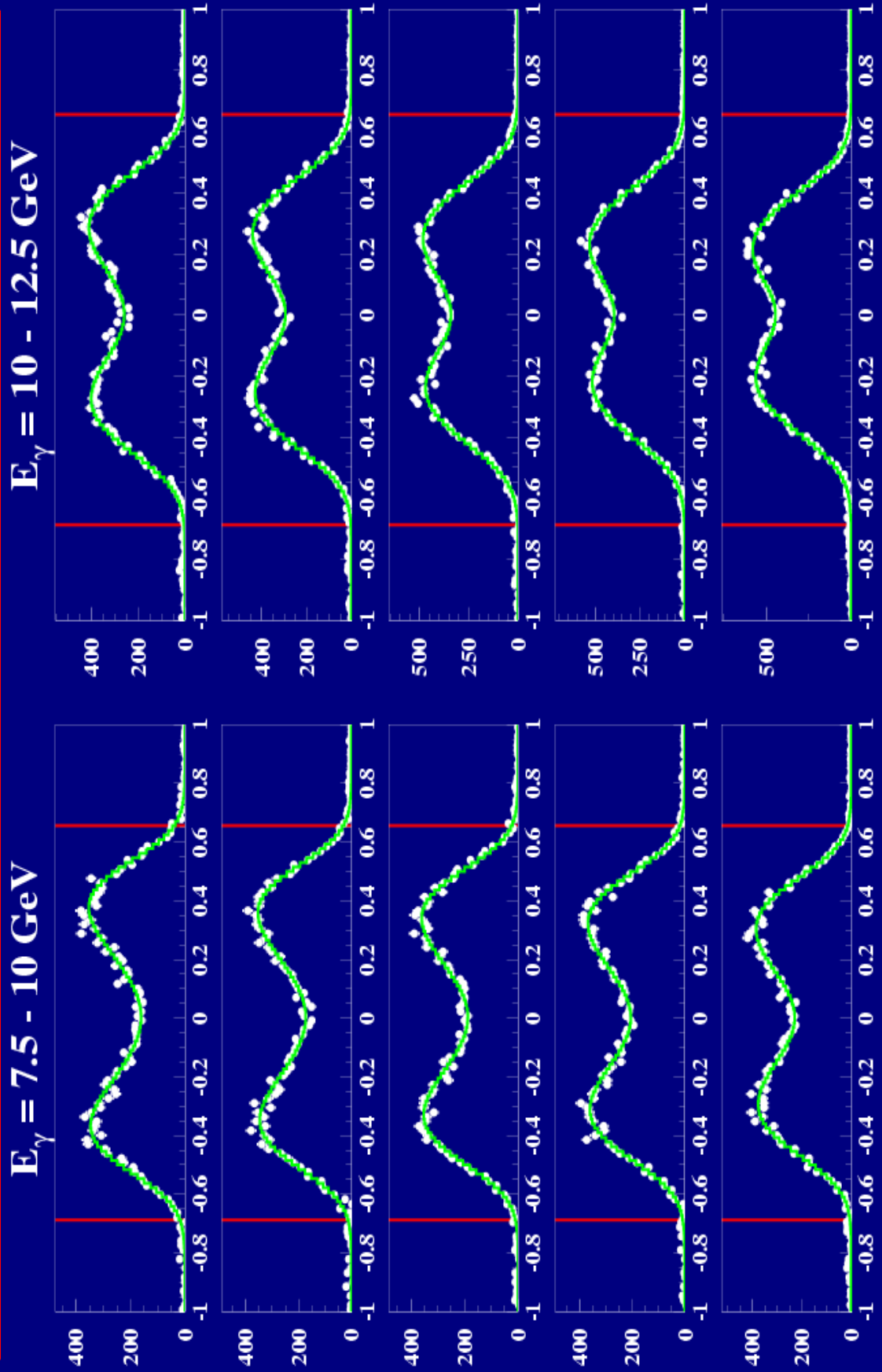


Ablauf der Analyse

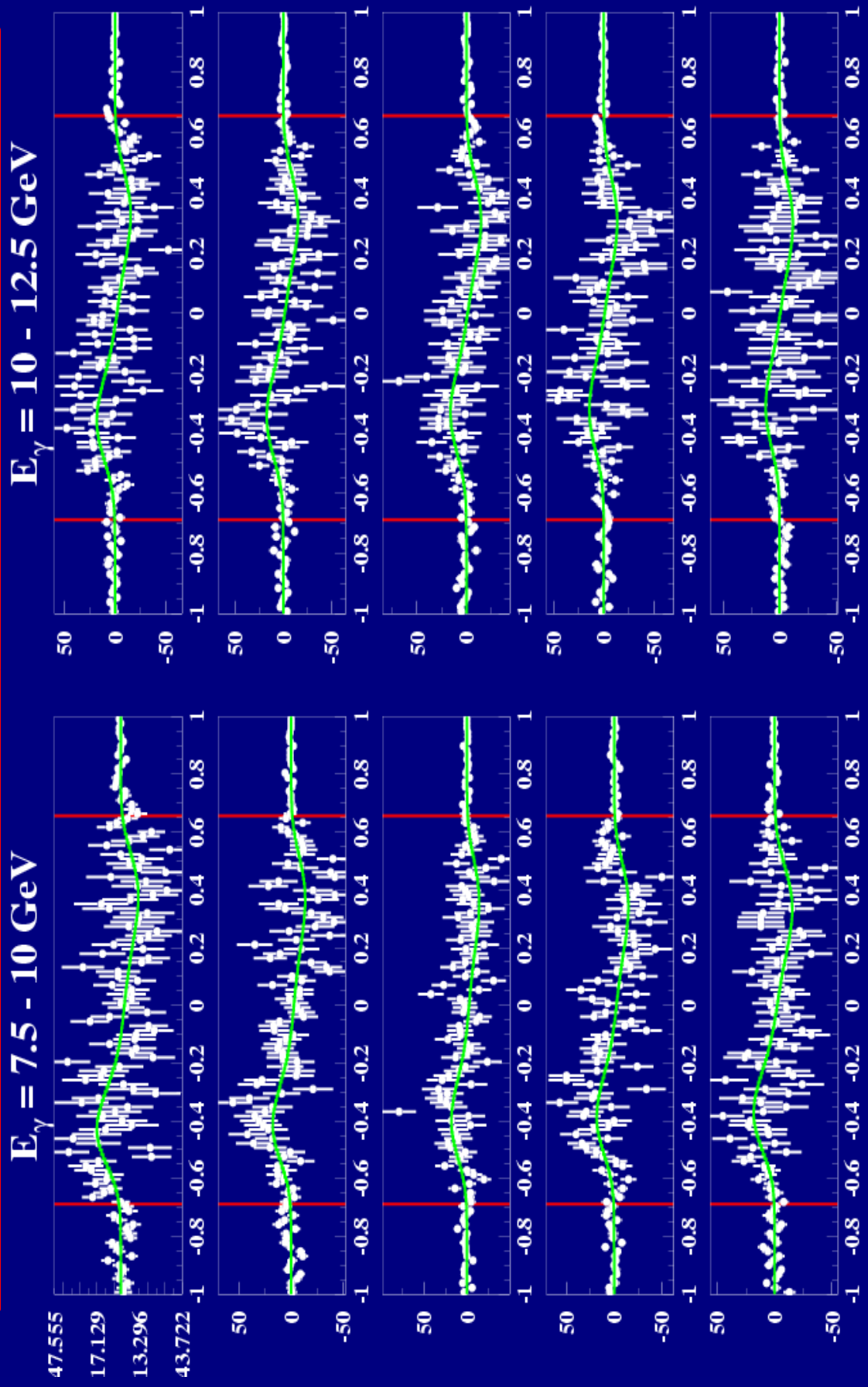
- Energiekalibration:
1D–Energiespektrum liefert
Comptonkante
- Fitte Summe der 2D–Spektren für
Laser "LINKS" und "RECHTS"
 $= 2\Sigma_0 + (S_{1R} + S_{1L}) \Sigma_1$
=> bestimme Systemparameter –
unabhängig von
Strahlpolarisation!
- Fitte Differenz der 2D–Spektren
für Laser "LINKS" und
"RECHTS"
 $= (S_{1R} - S_{1L}) \Sigma_1 + 2 S_3 P_Y \Sigma_{2Y}$
=> alle Systemparameter fixiert,
Präzisionsmessung nur Polarisations- γ



Daten einer Minute (17.10.02): Kalibrationsfit

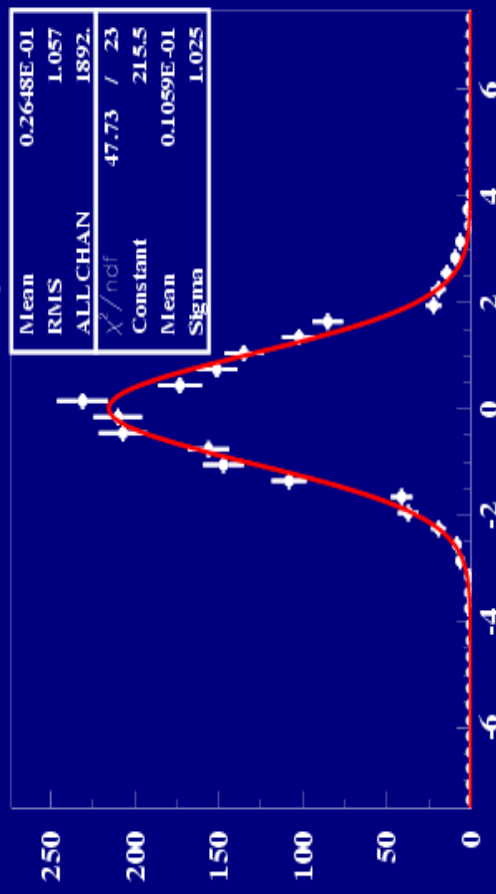


Daten einer Minute (17.10.02): Polarisationsfit

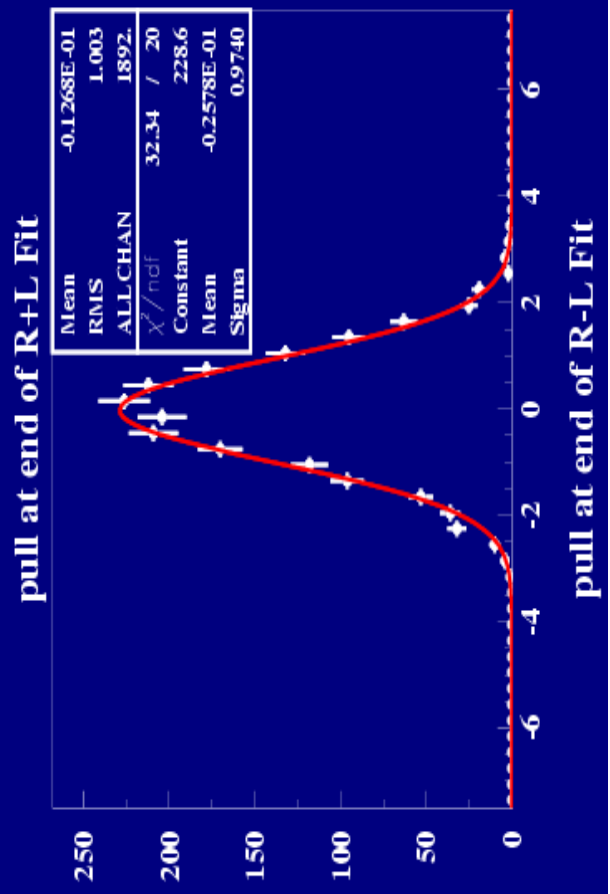


Ein 1-Minuten-Fit (Pullverteilungen)

Data 15610, η -y 7



- Erinnerung:
 - Pull = $(X_{\text{data}} - X_{\text{fit}}) / \sigma_{\text{data}}$
 - idealer Fit: $\langle \text{pull} \rangle = 0$
 - $\sigma_{\text{pull}} = 1$
- hier:



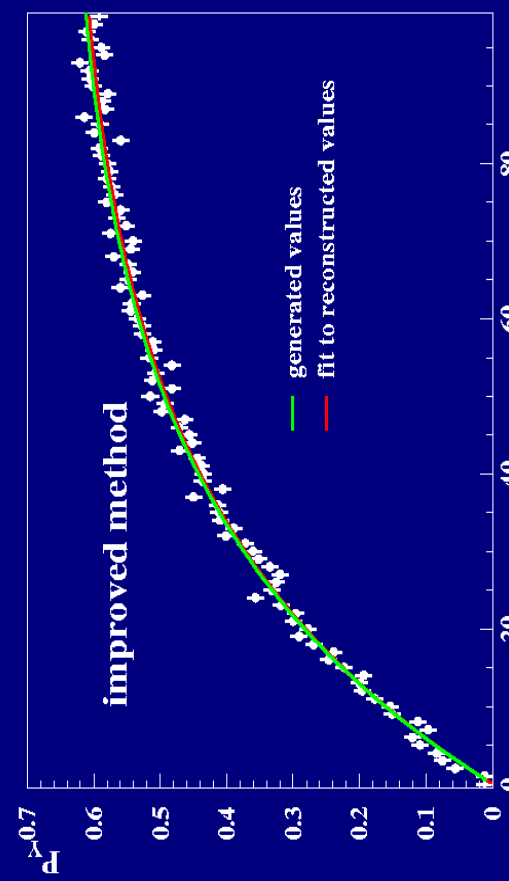
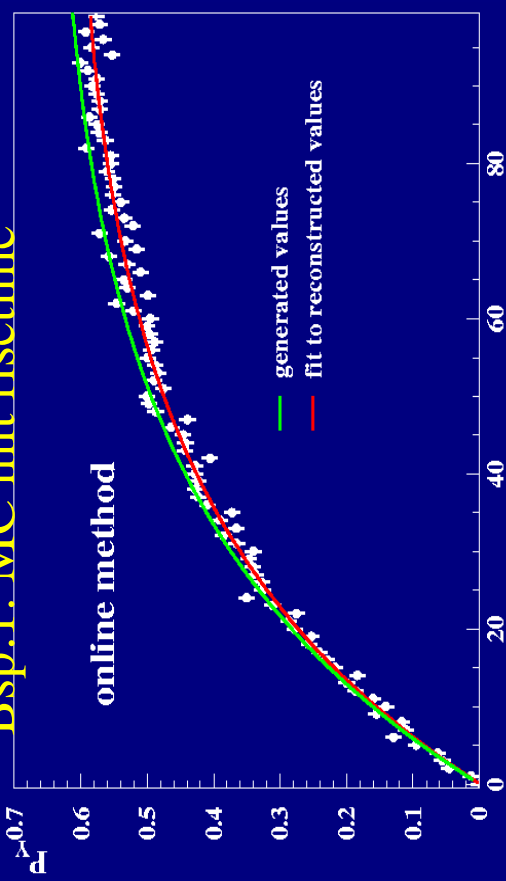
- $X = \text{Bininhalt}$
d.h. jedes bin aus
2D-Histogramm macht einen
Eintrag in Pullverteilung
(~ 2000 bins!)
- Fazit:

- Fit beschreibt Daten sehr gut!

100-MC-Minuten (I)

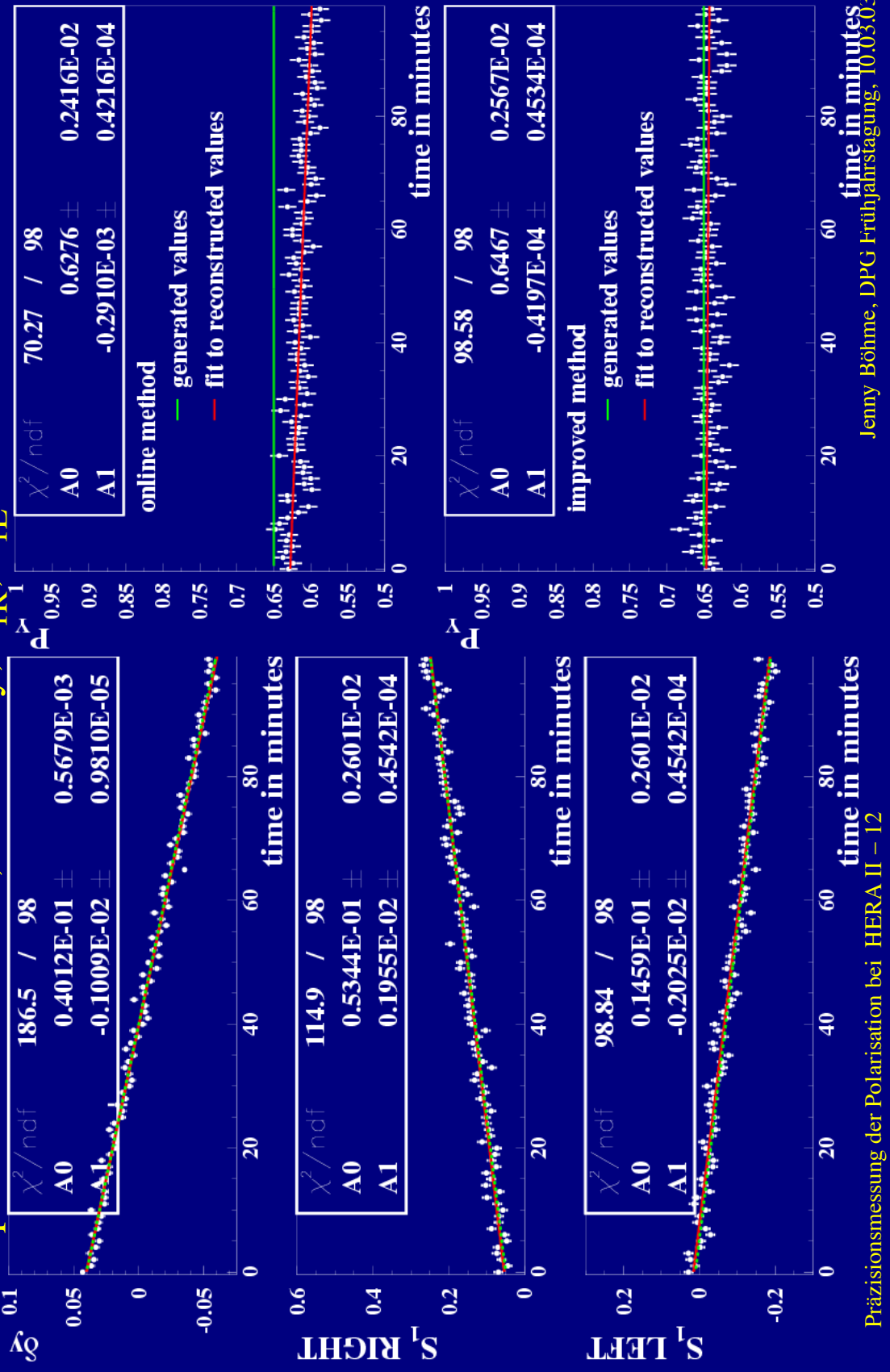
- in Ermangelung von Daten:
untersuchte MC-runs mit
stetigen Veränderungen in
 - Polarisation
 - Strahlposition
 - "eff. Strahldurchmesser"
 - lin. Laser-Polarisation
 - rel. Kalibration von E_u u. E_d
 - η -y-Transformation
- ⇒ liefert "partielle Ableitungen"
 $\partial P / \partial x_i$, d.h. mit Kenntnis von
 δx_i erste Abschätzung syst.
Effekte!

Bsp. 1: MC mit risetime



100-MC-Minuten (II)

Bsp.2: MC mit P=65%, Drift in δy , S_{1R} , S_{1L} :



Zusammenfassung & Ausblick

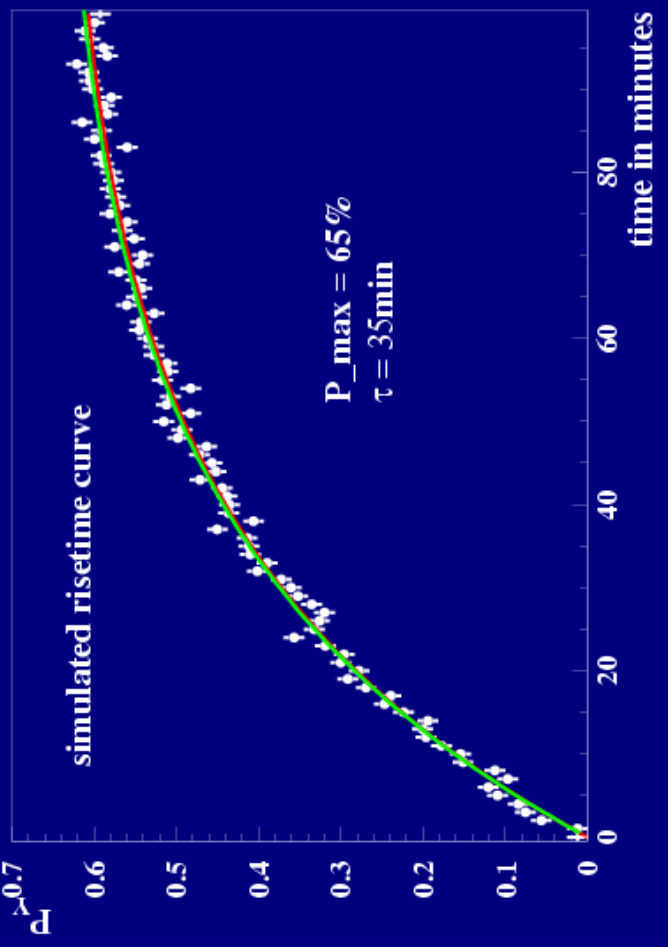
- $\delta P/P \leq 1\%$ nötig für Physikanalysen bei H1, ZEUS
- Upgrade des Transversalen Polarimeters:
 - nicht nur hardware, sondern auch Analyse verbessert
 - Verständnis des TPOL auf $< 1\%$ scheint in Reichweite
- Ausblick:
 - HERA hat 50% Polarisation mit 3 Spinrotatoren UND beiden Solenoiden (H1 & ZEUS) erreicht !
 - erste Daten mit $P>0$ ermöglichen Kalibration und Bestimmung des systematischen Fehlers der neuen Analyse

⇒ POL2000–Gruppe gratuliert HERA zum Erfolg
der letzten Woche und arbeitet an der Analyse
dieser Daten!

Ein wenig Spingymnastik

- Erinnerung: Spin eines Teilchens im Magnetfeld präzidiert um Magnetfeld-Richtung!
- z.B.: $P_Y = 100\%$, d.h. Polarisationsvektor zeigt in y-Richtung
 - B -Feld \parallel y-Achse \Rightarrow Richtung des Polarisationsvektors bleibt erhalten ✓
 - B -Feld \parallel x-Achse \Rightarrow Polarisationsvektor beginnt um x-Achse zu präzidieren
 $\Rightarrow P_Y$ wird kleiner – zu gunsten von P_Z ✗
 - B -Feld \parallel z-Achse \Rightarrow Polarisationsvektor beginnt um z-Achse zu präzidieren
 $\Rightarrow P_Y$ wird kleiner – zu gunsten von P_X ✗
- durch geeignete Anordnungen von Magneten kann man den Polarisationsvektor kontrolliert drehen \Rightarrow Spin-Rotatoren! ☺
- Aber: Magnetfelder lenken Elektronen auch ab \Rightarrow Synchrotronstrahlung!
 - alle Magnet-Felder, die nicht genau parallel zum Polarisationsvektor sind, wirken depolarisirend
Warum?
Präzisionsmessung der Polarisationsentstörung bei HERA \rightarrow betrachte Entstörung der Polarisation!

Wie entsteht Polarisation im Speicherung?



- Injektion: Spins der Elektronen stochastisch verteilt:
 $N_{\uparrow} \approx N_{\downarrow} \Rightarrow P_Y = 0$
- Sokolov-Ternov-Effekt:
Synchrotronstrahlung bewirkt Spinflips mit $R(N_{\uparrow \rightarrow \downarrow}) > R(N_{\downarrow \rightarrow \uparrow})$
 $\Rightarrow P_Y(t) = P_{\max} (1 - e^{-t/\tau})$
- nur vertikale Dipolfelder ("flach"):
 $P_{\max} = 92.4\%$, $\tau^{-1} \sim \frac{1}{\rho^3} \text{ ds}$
N.B.: \Rightarrow Messung von P_{\max} , τ liefert absolute Kalibration der Polarimeter!
- ABER: reale Maschine hat auch Felder in x- und z-Richtung & Synchrotronstrahlung sorgt immer für Polarisierung in Richtung des ablenkenden Feldes \Rightarrow Depolarisation, falls B nicht exakt parallel zu P
- auch Protonbunch erzeugt B-Feld $\Rightarrow P(\text{pilot}) \neq P(\text{colliding})$

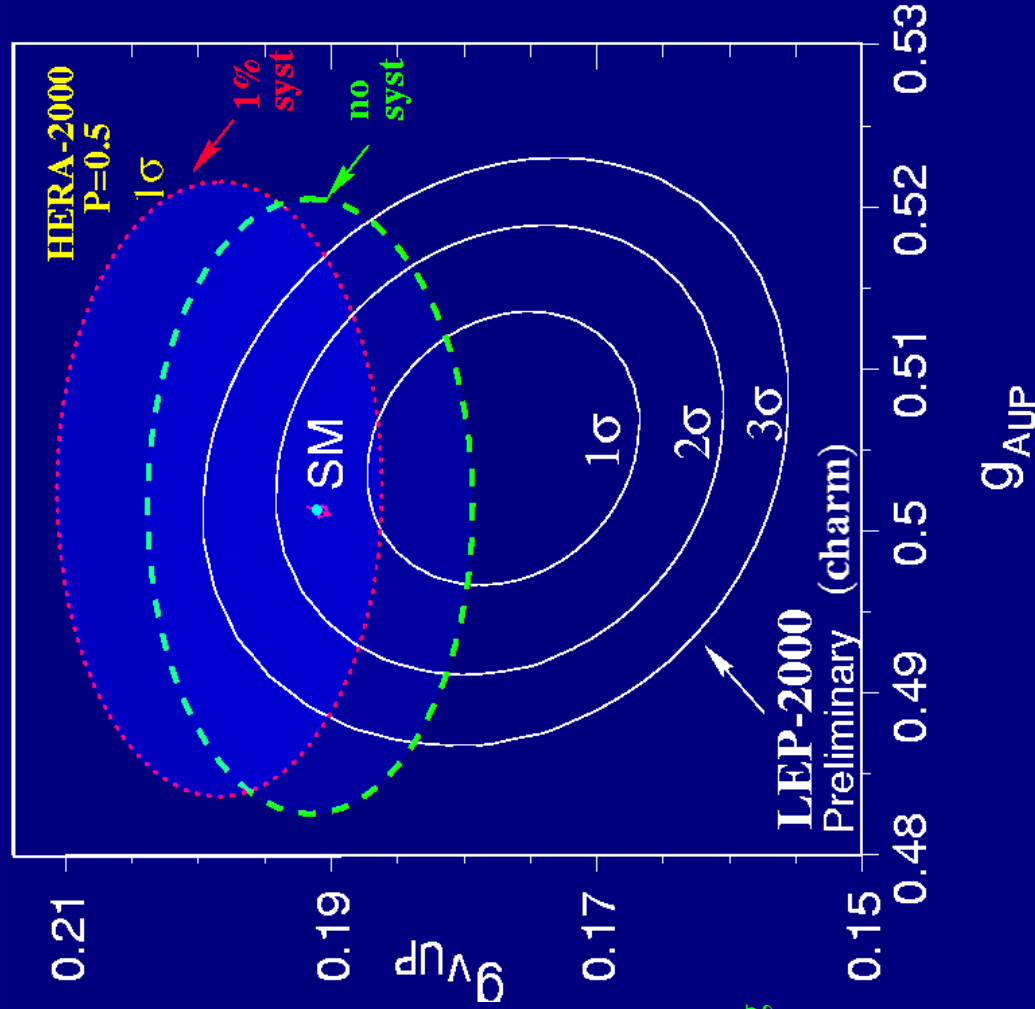
Warum eine Präzisionsmessung? (II)

NC-Wirkungsquerschnitt
polarisationsabhängig durch
 Z^0 -Austausch und $Z^0 - \gamma -$
Interferenz

=> Vektor- & Axialvektor-
Kopplungen des Z^0 an
u- und d- Quarks:

- $\sim 250 \text{ pb}^{-1}$ für jedes Vorzeichen von Leptonladung & Polarisation
- für a_u, a_d reicht $P = 0$
- $P \geq 0.5$ erlaubt präzise Bestimmung von v_u, v_d

...hochsensitiv auf systematische
Abweichungen in der
Polarisationsmessung!



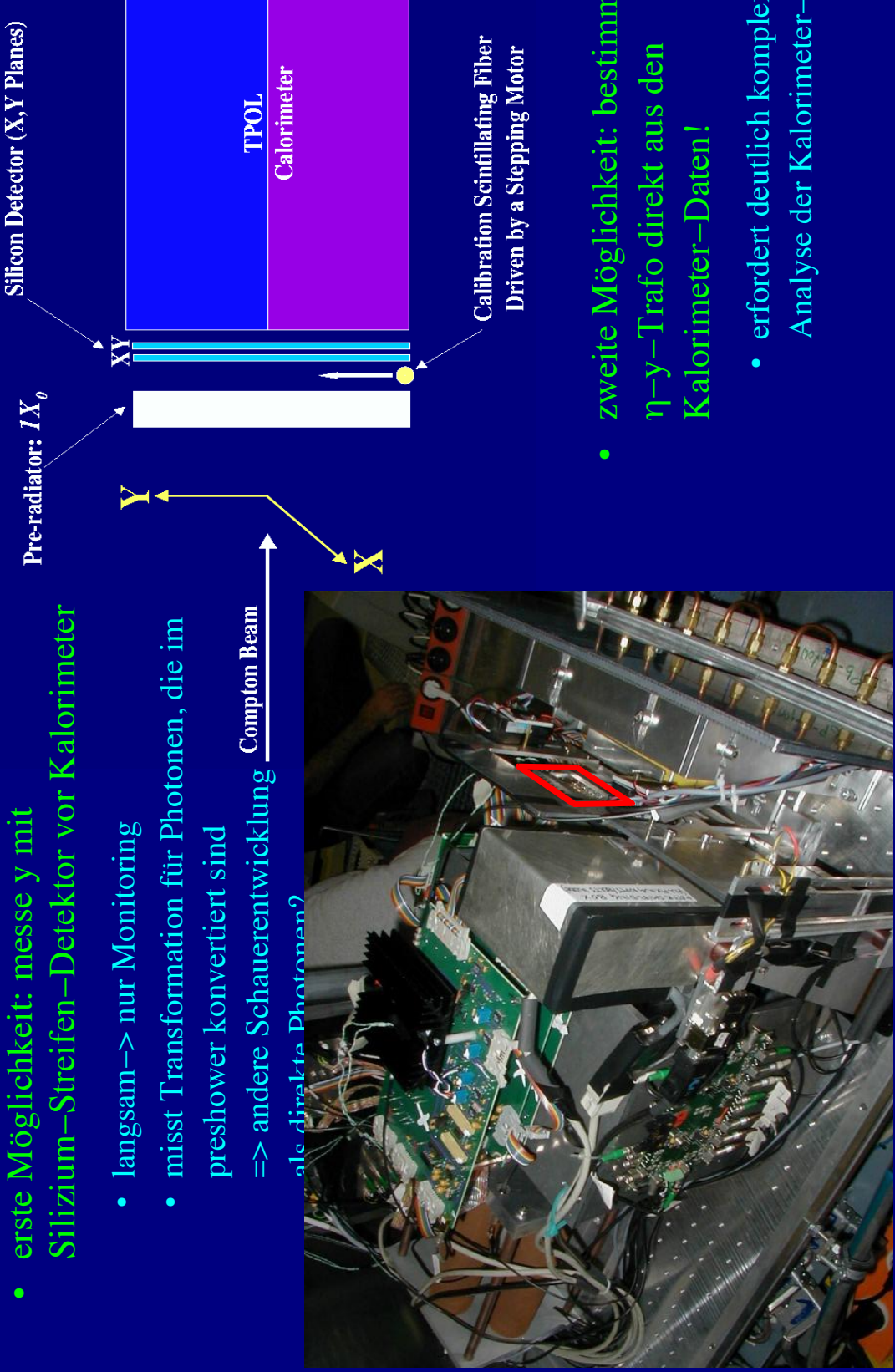
Von welchem Fehler reden wir?

- Statistischer Fehler: $\sim 1/\sqrt{N} \sim 1/\sqrt{\int I_e dt}$
 - akkumulierte Daten über Zeitintervall $dt \Rightarrow$ immer pro Zeiteinheit, z.B. pro Minute unterscheide, ob pro bunch oder gemittelt
 \Rightarrow zu vernachlässigen, wenn über großen Datensatz gemittelt wird
 \Rightarrow NICHT zu vernachlässigen bei Messung als Funktion der Polarisierung!
 - Systematische Unsicherheit:
 - Verständnis von Signal- und Untergrundprozessen
 - Detektorverständnis und -simulation
 - Analysetechnik
- TPOL HERA I: $\simeq 8\%$
- Differenz zu LPOL, Maschinen-MC
- TPOL HERA I: $\simeq 3.5\%$

TPOL upgrade: Messung der η -y-Transformation

- erste Möglichkeit: messe y mit Silizium-Streifen-Detektor vor Kalorimeter

- langsam \rightarrow nur Monitoring
- misst Transformation für Photonen, die im preshower konvertiert sind
 \Rightarrow andere Schauerentwicklung
- Compton Beam
- alc direkte Photonen?



- zweite Möglichkeit: bestimme η -y-Trafo direkt aus den Kalorimeter-Daten!
- erfordert deutlich komplexere Analyse der Kalorimeter-Info

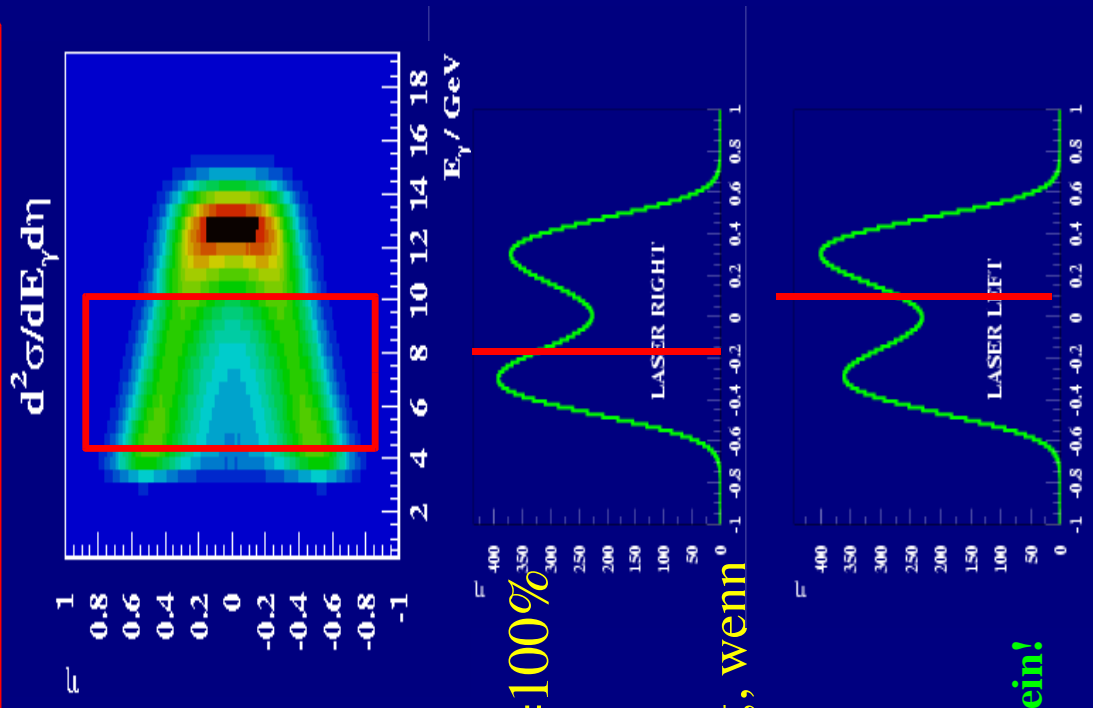
TPOL: Die HERA I Analyse

- berechne η -Mittelwert gewichtet mit $d^2\sigma/dE_\gamma d\eta$ über sensitivsten Bereich
- bilde Differenz bzgl. der Laserhelizität:

$$\frac{(\eta_R - \eta_L)}{2} =: |S_3| P_Y \Pi$$

Π : "Analysierstärke", Differenz für $P=100\%$

- ABER: feste Analysierstärke nur gültig, wenn alle Parameter...
 - ...gleich den angenommenen Werten
 - ...und zeitlich konstant sind.
 - speziell: $\eta-y$ -Trafo muss a priori bekannt sein!
- Auf Subprozentniveau nicht erfüllt!



"Traumziel"

- bestimme Polarisation und Systemparameter in konsistenter Weise direkt aus den Daten
- ohne willkürliche Annahmen / Extrapolationen vom Testbeam
 \Leftrightarrow verstehe komplettes gemessenes 2D-Spektrum,
d.h. beschreibe es durch
Compton–Wirkungsquerschnitt \otimes Detektoreffekte
- Vorteile:
 - mehr Statistik, da ganzes Spektrum genutzt
 - Parameteränderungen werden berücksichtigt
 - Nachweis/Kontrolle, dass System verstanden ist
- potentielle Nachteile:
 - recheneitaufwendig

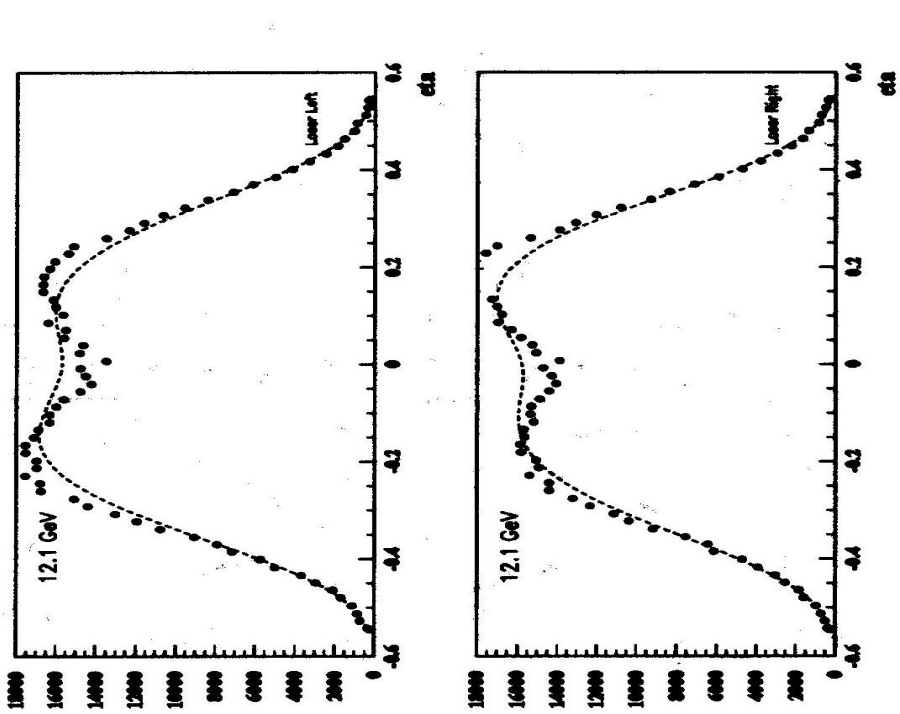
Mögliche Realisierungen?

- Monte-Carlo:
 - GEANT: gut für Energie- u. Ortsauflösung, aber:
 - 1 Minute \cong 1000000 Compton-Photonen!
 - Beschreibung der transversalen Schauerentwicklung nicht gut genug , um η -y-Transformation zu extrahieren \circlearrowleft
 - MC mit parametrisierter Detektorantwort:
 - "Würfele" E_γ, ϕ_γ entsprechend Wirkungsquerschnitt
 - wende $\phi \rightarrow y, y \rightarrow \eta$ Transformationen an (letztere muss bekannt sein!)
 - Schmiere E, η , usw
 - PROBLEM: brauche 10–15 Parameter aus Daten , die feinabgestimmt werden müssen.
- Fit:
 - passe (semi-)analytische 2D-Funktion an Daten an
 - 2D-Funktion = Wirkungsquerschnitt \otimes parametrisierte Beam- und Detektoreffekte
 - liefert sowohl Kalibration $\text{HERA}_{\text{II}}^-$ als auch Polarisierung! \odot

Tun wir's doch einfach!?

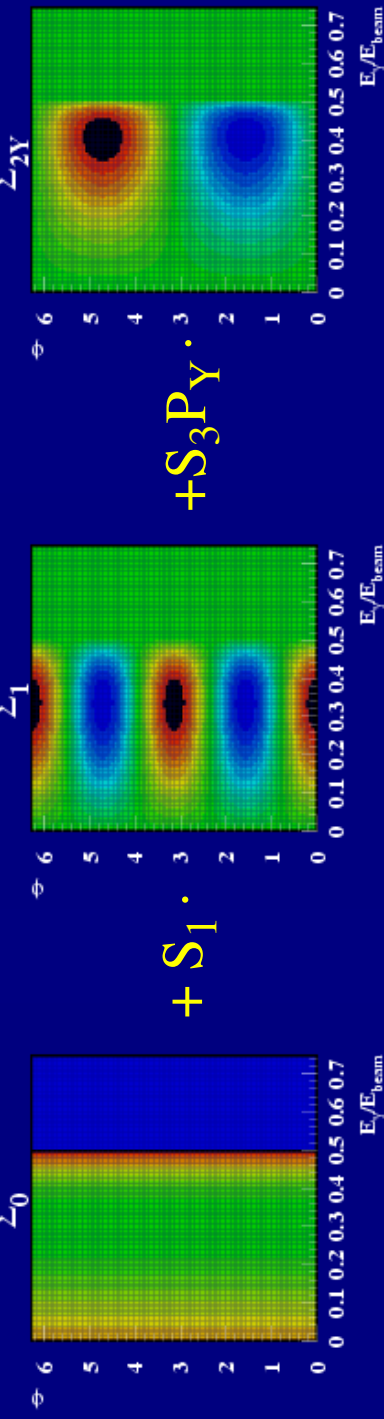
Frühere Versuche mit analytischen Fits konnten oft Daten nicht wirklich beschreiben :-(--- Warum?

- numerische Schwierigkeiten:
 - z.B. Übergang $\phi \rightarrow y$: Polstellen
=> müssen korrekt behandelt werden!
 - variable Integrationsgrenzen
 -
- physikalische Herausforderung:
 - finde alle relevanten Parameter des Systems
 - aber nicht zu viele => Fit instabil
 - finde die richtigen Parametrisierungen
 - mache die richtigen Näherungen
 -

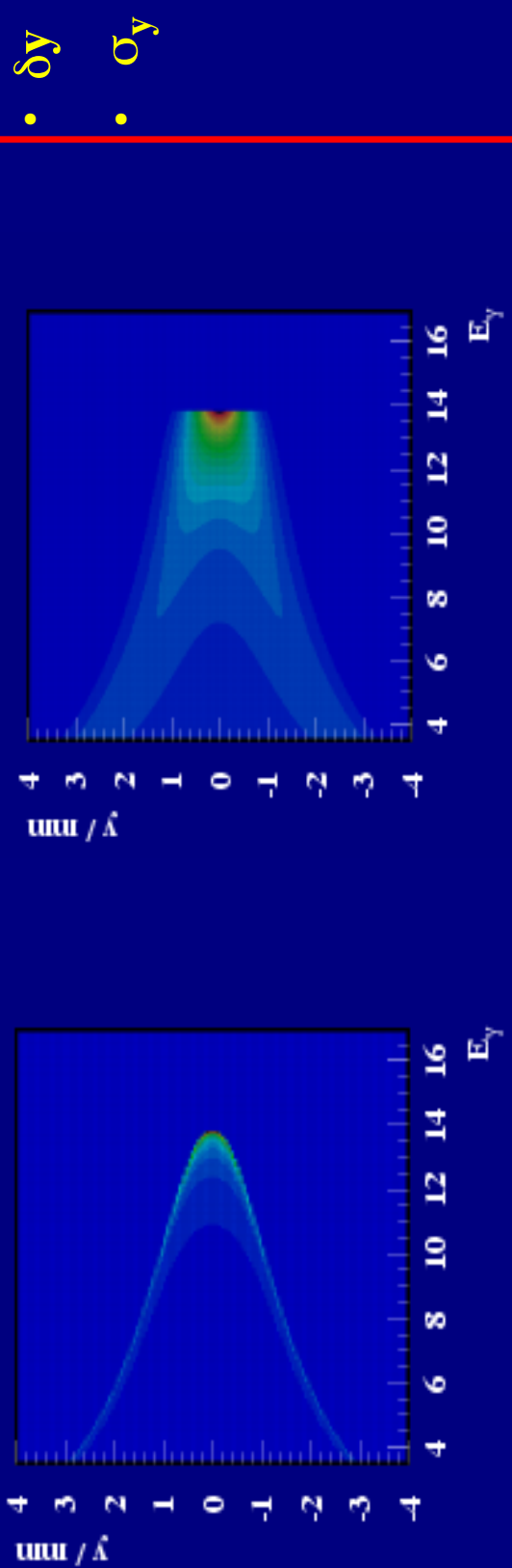


Der neue Fit – Schritt für Schritt (I)

1. addiere WQ-Terme gemäß $S_1, S_3^* P_Y$



2. $\phi \rightarrow y$, addiere Strahlposition δy , schmiere mit Strahlgröße σ_y



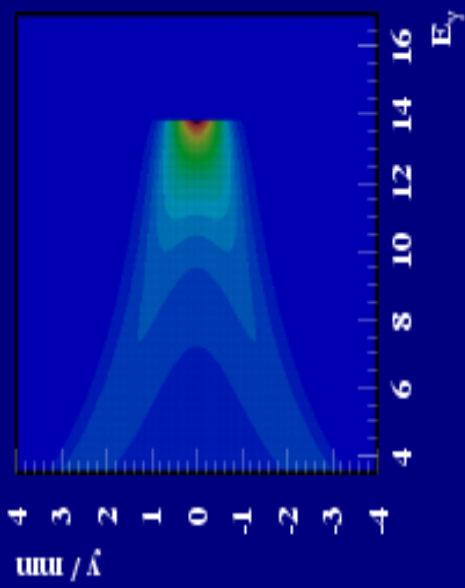
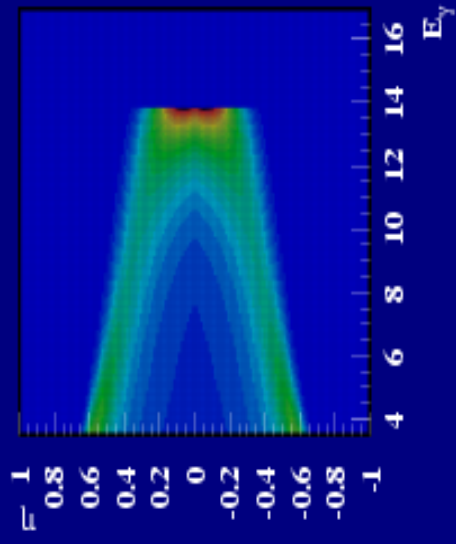
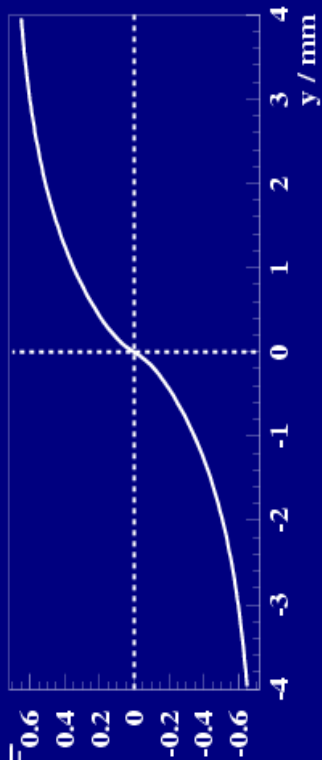
Der neue Fit – Schritt für Schritt (III)

3. η -y-Transformation:

ursprünglich : $\eta = \text{sign}(y) (1 - C_1 e^{-|y|/\lambda_1} - (1 - C_1) e^{-|y|/\lambda_2})$

deutliche Verbesserung in χ^2/dof mit zusätzlichem Term:

$$\eta = \text{sign}(y) (1 - C_1 e^{-|y|/\lambda_1} - (1 - C_1 - C_2) e^{-|y|/\lambda_2} - C_2 e^{-|y|/\lambda_3})$$



- S_1
- $S_3 * P_Y$
- δy
- σ_y
- C_1
- λ_1
- λ_2
- C_2
- λ_3

Intermezzo: E- und η -Auflösung (I)

- Bisher: als unabhängig angenommen, grobe Parametrisierung
- neuer Ansatz: konsistente Beschreibung durch Auflösung der Einzelenergiemessungen, deren Kovarianz und Fehlerfortpflanzung
- Energieauflösung: $E = E_u + E_d$
- sampling-Fluktuationen: gleich (aber unkor) f. beide Hälften, unabh. von $y \rightarrow \sigma$
 - Befund aus GEANT: $\sigma^2(E) = a^2 E + b^2 E^2$ (a, b unabhängig von $y \checkmark$)
 - aber $\sigma^2(E_u)$: gleiche Form, aber a_u, b_u abhängig von y
 - Fluktuationen zwischen Hälften: 100% antikorriert, nur für $y \approx 0$ \xrightarrow{s}
- Ansatz für Kovarianzmatrix $C = \begin{pmatrix} a^2 E_u + b^2 E_u^2 & a^2 E_u E_d & -s^2 + b^2 E_u E_d \\ a^2 E_u E_d & a^2 E_d + b^2 E_d^2 & s^2 \\ -s^2 + b^2 E_u E_d & s^2 & a^2 E_d + b^2 E_d^2 + s^2 \end{pmatrix}$
 \Rightarrow Ansatz für Kovarianzmatrix von E_u und E_d :
- η -Auflösung: $\eta = (E_u - E_d) / (E_u + E_d)$
 $\Rightarrow \sigma_\eta^2 = (1 - \eta^2) a^2 / E + 4s^2 / E^2$

Intermezzo: E- und η -Auflösung (II)

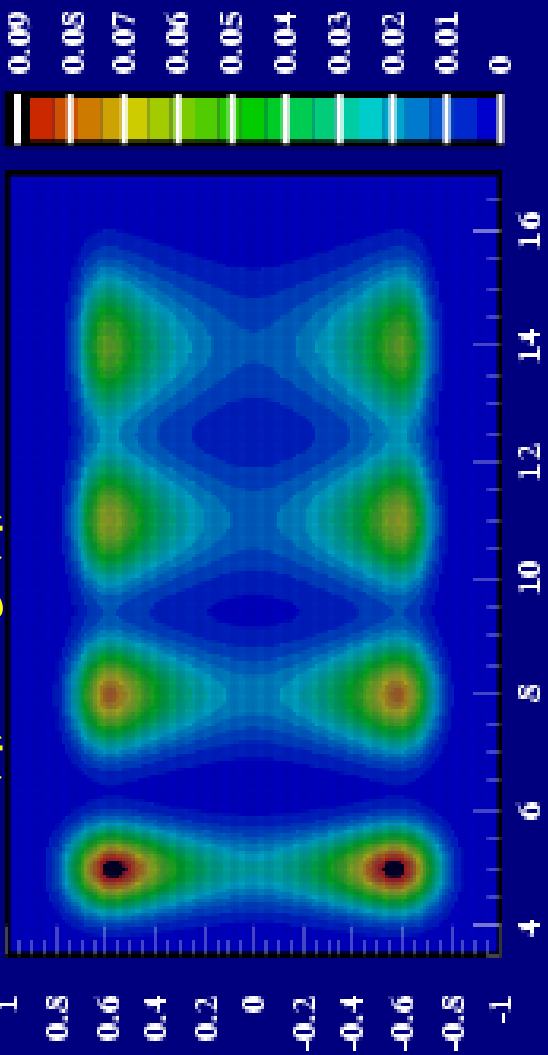
Wie sieht $s^2(E, \eta)$ aus?

- $\sigma_\eta |_{E=\text{const}}$ **nicht nur** proportional zu $(1-\eta^2) \Rightarrow$ neu!
- $\sigma_\eta |_{\eta=\text{const}} \sim 1/\sqrt{E} + \text{const}$
- GEANT: $(s/E)^2 = f^2(\eta)/E + g^2(\eta); f^2, g^2:$

- physikalisch: $\sim d\eta/dy|_{\eta=0} \cdot \text{"Spaltdicke"} \Rightarrow$ funktioniert großenteils ordnungsmäßig!

- Praxis: fitte Gauß + const

$$\Rightarrow \sigma_\eta^2 = (1-\eta^2)a^2/E + 4f^2(\eta)/E + g^2(\eta)$$



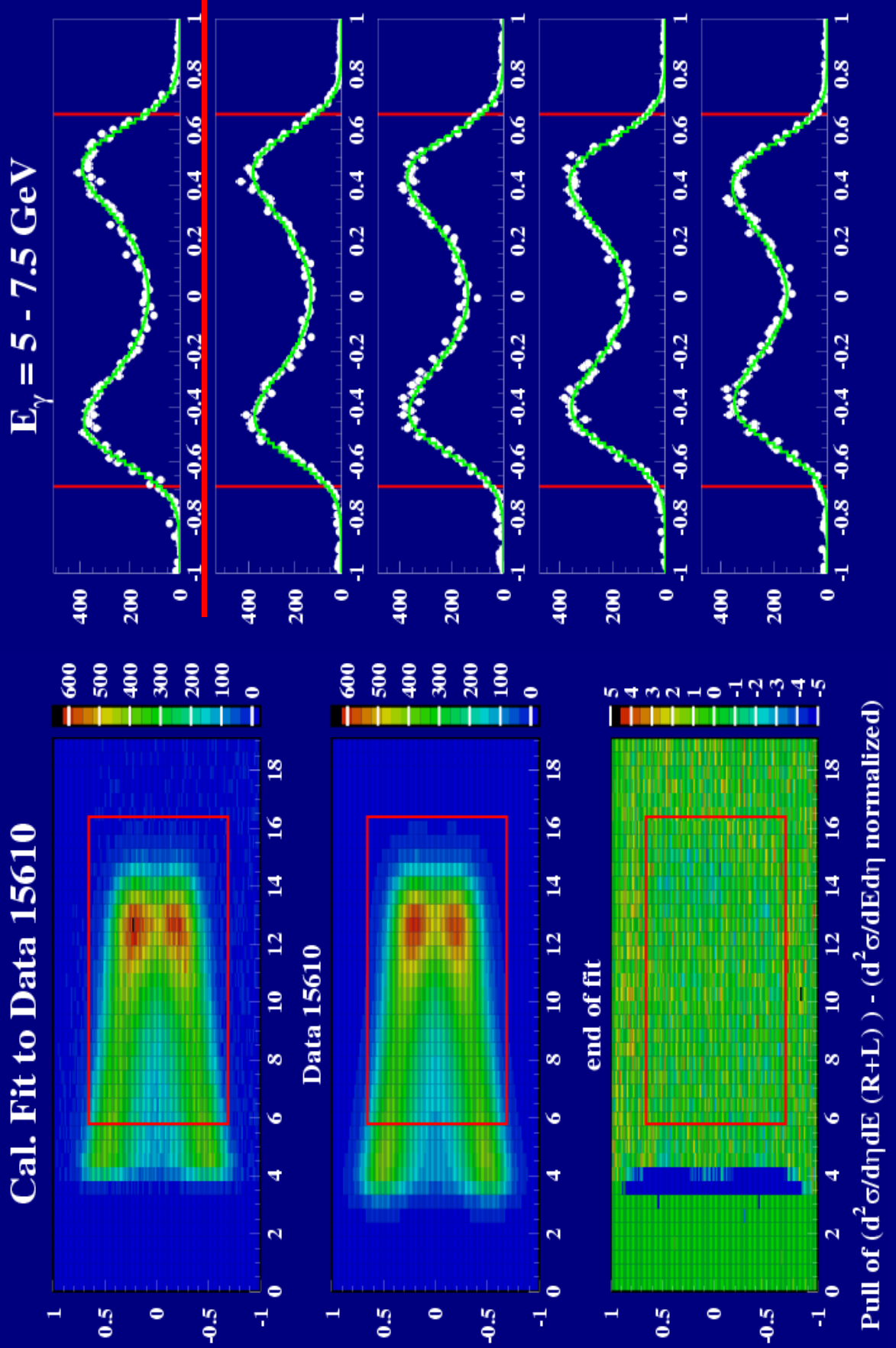
Präzisionsmessung der

stagung, 10.03.03

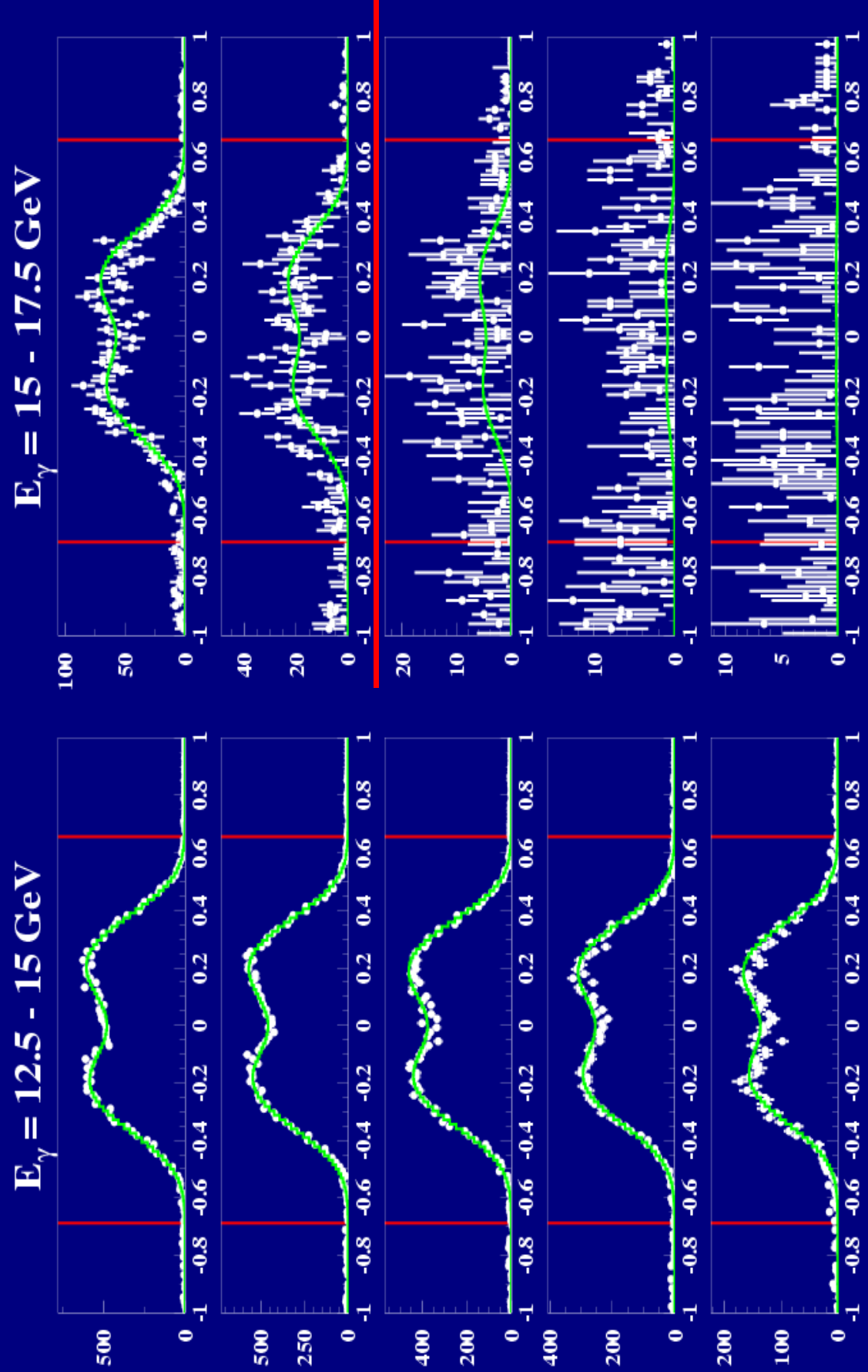
Der neue Fit – Schritt für Schritt (III)

- S_1
 - $S_3^* P_Y$
 - δ_Y
 - σ_Y
 - C_1
 - λ_1
 - λ_2
 - C_2
 - λ_3
 - σ_E
 - δ_η
 - N
3. Kalorimeterauflösung:
2dim. Verschmierung, da σ_η von E und η abhängt
4. unterschiedliche Lichtsammlungseffizienz bzw. relative
Misskalibration in up/down Kanälen:
z.B. $E_d = 0.99 E_{d,true} \Rightarrow \delta_\eta = 0.01$
-
-

Ein 1-Minuten-Fit (Kalibration I)

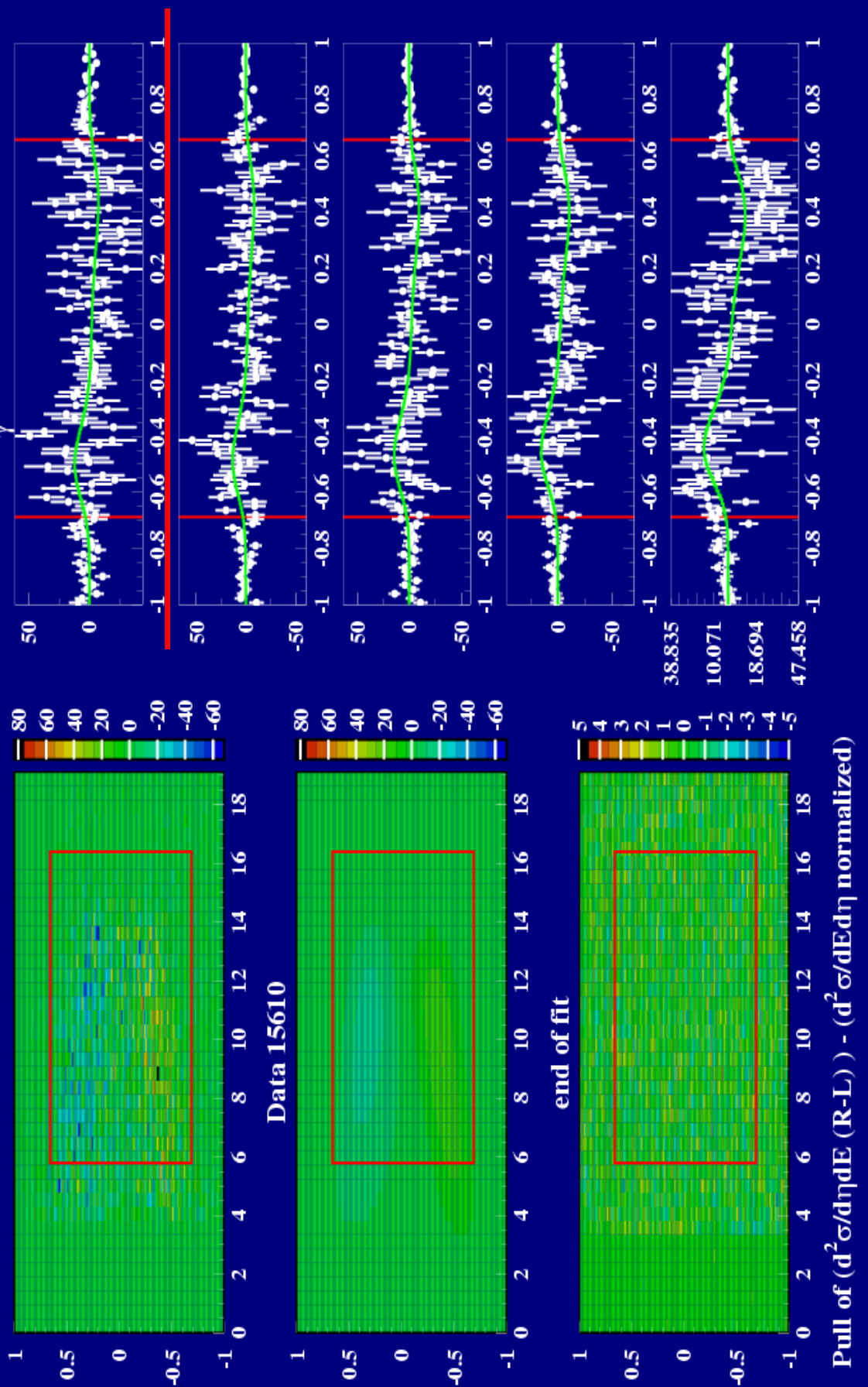


Ein 1-Minuten-Fit (Kalibration III)



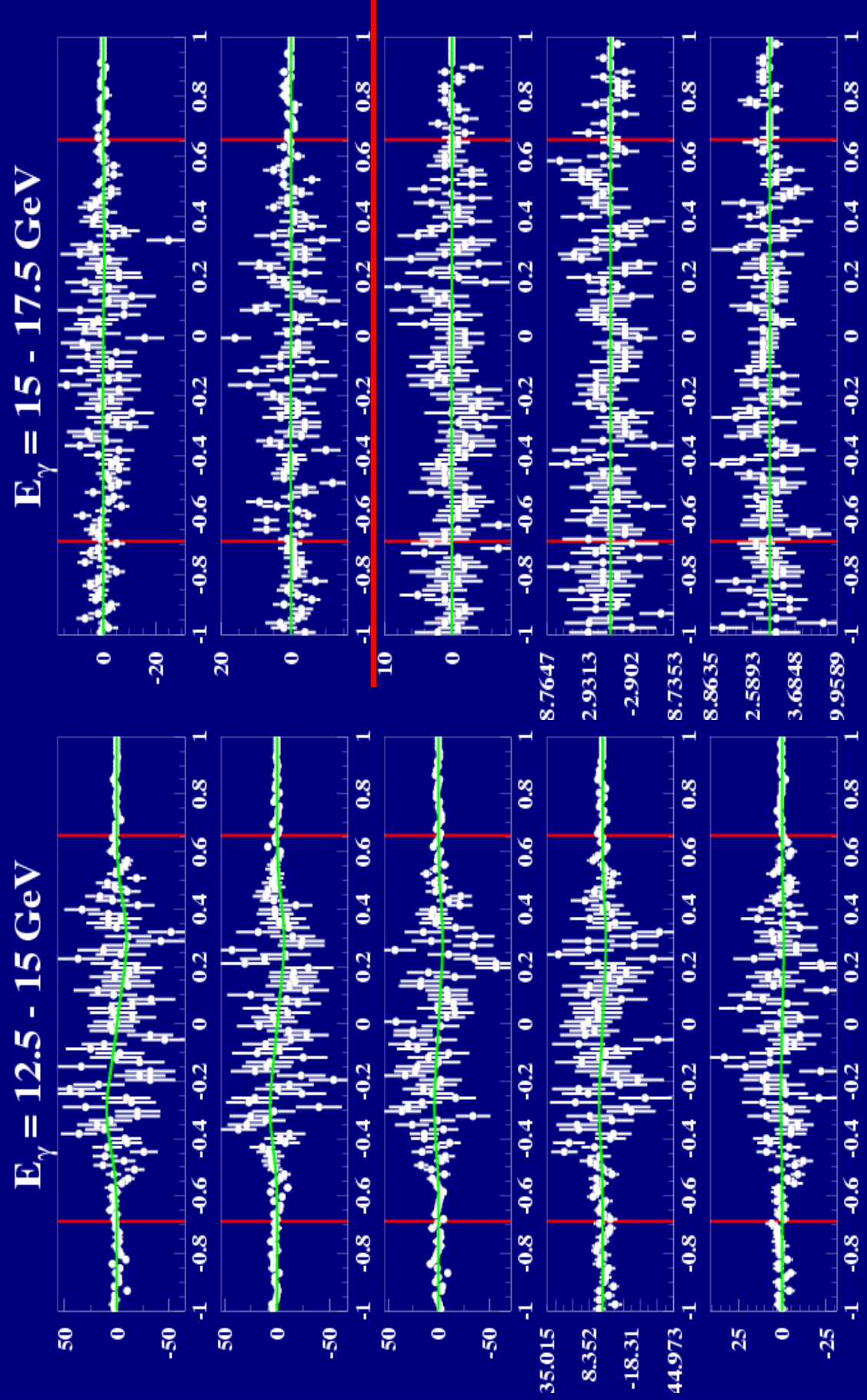
Ein 1-Minuten-Fit (Polarisation I)

Pol. Fit to Data 15610



Pull of $(d^2\sigma/d\eta dE)_{(R-L)} - (d^2\sigma/dE d\eta)_{\text{normalized}}$

Ein 1-Minuten-Fit (Polarisation III)



Ein Blick über den (TPOL-)Tellerrand...

gibt es Möglichkeiten, die absolute Skala des TPOL zu überprüfen?

- Vergleich mit LPOL:

- HERA I:
 - LPOL reklamiert 2% Genauigkeit
 - absolute TPOL Eichung aus risetime-Messung (Maschinen-MC!)
 - $P(LPOL) \text{ ca } 3\% \text{ größer als } P(TPOL)$ \Leftrightarrow nie verstanden ...
- erster Blick in HERAII-Daten:
 - $LPOL \neq TPOL_{\text{online}} \neq TPOL_{\text{offline}}$
 - LPOL-Daten noch etwas shaky (sehr wenig Statistik, unbekannter Kalibrationsstatus)
 - TPOL-online: "geratener" Skalierungsfaktor auf Analysierstärke wg. neuer hardware
 - \Rightarrow brauche mehr $P>0$ Daten mit mehr Positronstrom!
- Risetime-Messungen:
 - wertvoller Konsistenztest für Polarimeter und Maschine
 - routinemäßige Polarisation unter stabilen Bedingungen:
 - eine Messung: min. 3–4h reine Anstiegszeit
 - viele Messungen für Statistik: $N=100 \Rightarrow \delta P/P = 10\%$, d.h. bei $P=50\%$: $\delta P=5\%$